

**ԵՐԵՎԱՆԻ ՊԵՏԱԿԱՆ ՀԱՍՏԱՏՄԱՆ ԳԻՏԱԿԱՆ ՏԵՂԵԿԱԳԻՐ
УЧЕНЫЕ ЗАПИСКИ ЕРЕВАНСКОГО ГОСУДАРСТВЕННОГО УНИВЕРСИТЕТА**

Երկրաբանություն և աշխարհագրություն

3, 2015

Геология и география

Երկրաբանություն

УДК 551.432

**ՀԱՅԿԱԿԱՆ ՀՐԱՄԲԽԱՅԻՆ ԲԱՐՁՐԱՎԱՆԴԱԿԻ ԵՐԿՐՈՒԿԵՂԵՎԻ
ԲՅՈՒՐԵՂԱՅԻՆ ՀԻՄՔԻ ԵՎ ՆՍՏՎԱԾՔԱՅԻՆ ՇԵՐՏԻ ՄԻԶԵՎ
ԶԵՎԱԿԱՌՈՒՑՎԱԾՔԱՅԻՆ ԿԱՊԵՐԻ ՎԵՐԼՈՒԹՅՈՒՆՆԵՐ**

Ռ. Ս. ՍԱՐԳՍՅԱՆ*

ՀՀ ԳԱԱ Երկրաֆիզիկայի և ինժեներային սեյսմարաբնության ինստիտուտ, Հայաստան

Աշխատանքում փորձ է արվել առանձնացնել Հայկական հրաբխային բարձրավանդակի երկրակեղեղի նստվածքային շերտի ձևակառուցվածքը և բյուրեղային հիմքի մակերևույթի հետ համեմատական վերլուծության միջոցով բացահայտել նշված շերտերի միջև գոյություն ունեցող ձևակառուցվածքային կապերը:

Keywords: Armenian volcanic highland, Earth Crust crystalline fundament, Earth Crust sedimentary layer, morphostructural connections.

Ներածություն: Հայկական հրաբխային բարձրավանդակը տարածվում է հանրապետության տարածքի կենտրոնական մասով, հյուսիս-արևմուտքից դեպի հարավ-արևելք՝ տարածվելով Զավախսի լեռնավահանից մինչև Սյունիքի հրաբխային բարձրավանդակ: Մարզի ժամանակակից ռելիեֆի ձևավորումը պայմանավորված է նորագույն հնագույն հրաբխային երևույթներով:

Այնուամենայնիվ հետազոտվող տարածքի համար գոյեք բացակայում են այն աշխատանքները, որոնցում մեկնաբանված են երկրակեղեղի բյուրեղային հիմքի և նստվածքային շերտի միջև ձևակառուցվածքային կապերը:

Հոդվածի նպատակն է ձևաչափական եղանակի ու մասնավորապես իզոլոնների եղանակի միջոցով բացահայտել Հայկական հրաբխային բարձրավանդակի սահմաններում երկրակեղեղի նստվածքային շերտի ձևակառուցվածքային առանձնահատկությունները և համարել դրանք բյուրեղային հիմքի կառուցվածքի հետ:

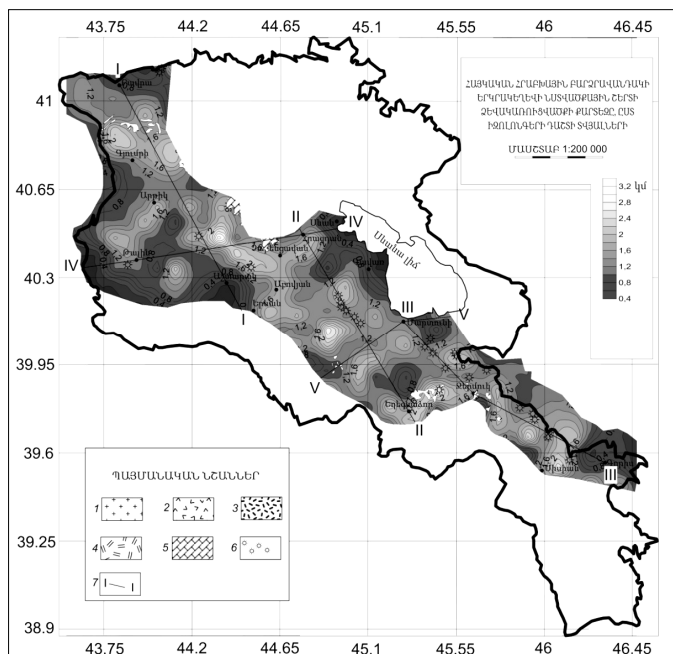
Այսօրինակ համեմատական վերլուծության շնորհիվ հնարավորություն է ստեղծվում բացահայտել բյուրեղային հիմքի մակերևույթի անհամասեռությունների դերը նստվածքային շերտի ձևակառուցվածքի կազմավորման գործում: Նմանատիպ խնդրի լուծումն իրականացվել է ՀՀ հյուսիսային ծալքավոր մարզի սահմաններում, որի արդյունքում բացահայտվել են ձևակառուցվածքային տարաբնույթ կապեր [1]:

Հետազոտության մեթոդիկան: Հայկական հրաբխային բարձրավանդակի սահմանների առանձնացման հիմք է հանդիսացել ՀՀ տարածքի գոյություն ունեցող երկրածնաբանական շրջանացման սխեման [2], միաժամանակ

* E-mail: rudolf-sargsyan@mail.ru

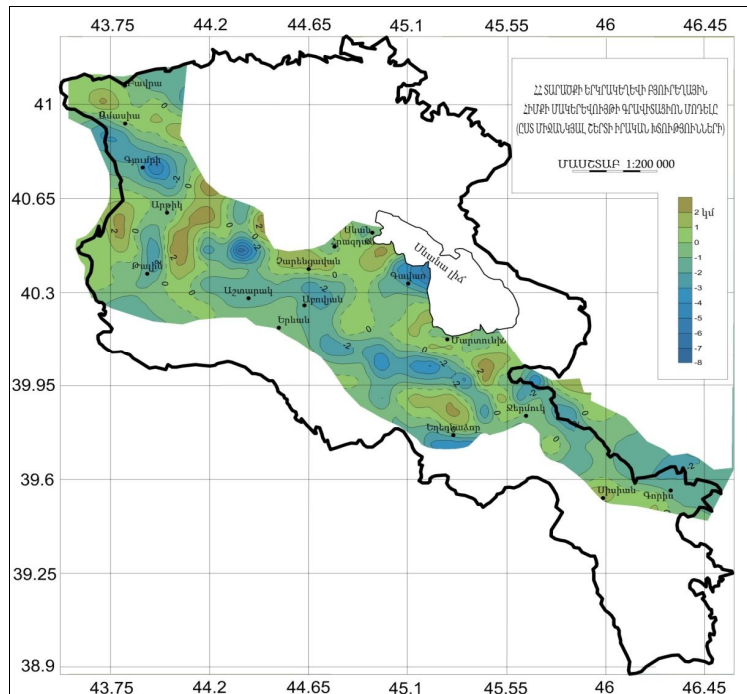
տարածական ամբողջականության պահպանման նպատակով գոտու սահմաններում ընդգրկվել է նաև Շիրակի գրավորության տարածքը: Մարզի տարածքում առաջադրված խնդրի լուծման նպատակով կիրառվել է նույն մեթոդաբանությունը, ինչ ՀՀ Հյուսիսային ծալքավոր մարզի դեպքում, որը մանրամասն ներկայացված է [1, 3, 4] աշխատանքներում:

Առաջադրված խնդրի լուծման համար փաստացի նյութը է ծառայել աշխատանքում կազմված երկրակեղելի նստվածքային շերտի ձևակառուցվածքային մոդելը, ըստ իզոլոնգերի դաշտի տվյալների, որի հետ համապնդվել է ՀՀ տարածքի երկրակեղելի բյուրեղային հիմքի գրավիտացիոն նոր մոդելը (Ակ. 1, 2), որը կազմված է ըստ միջանկյալ շերտի իրական խտությունների [5, 6], ինչպես նաև ինտրոզիվ մարմինների տարածման վերաբերյալ [7] և ՀՀ տարածքի նորագույն հրաբխականության մասին առկա գիտական նյութը [8, 9]:



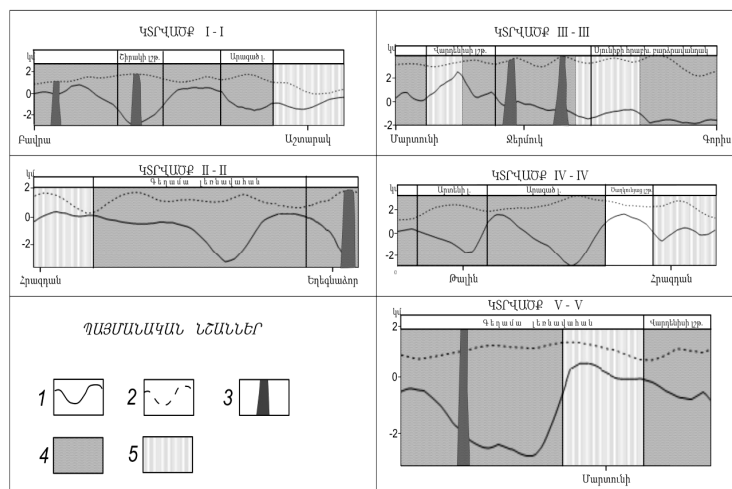
Նկ. 1: Հայկական հրաբխային բարձրավանդակի երկրակեղելի նստվածքային շերտի ձևակառուցվածքի քարտեզը, ըստ իզոլոնգերի դաշտի տվյալների. 1) միջին յուրայի և կավճի գրանոտողներ; 2) ուշ եղանակի և օլիգոցենի գրանոտողներ; 3) օլիգոցենի գրանոտողիորիշներ, հիմքային սինիտներ, սինիտային պորֆիրներ, գրանոտինիտներ; 4) ուշ կավճի և պալեոգենի գերիհնմքային ապարներ; 5) պալեոզոյի բյուրեղային հիմքի մերկացած տեղամասեր; 6) հրաբխային կոներ; 7) կտրվածքներ:

Համաձայն Նկ. 1-ում բերված տվյալների, հետազոտվող տարածքի սահմաններում դիտվում են իզոլոնգերի դաշտի արժեքների մեծ տատանումներ՝ 0,6–3,2 կմ բարձրություններում: Իզոլոնգերի քանակական դաշտում առավել հստակ են արտահայտված հիմնական հրաբխային կառույցները, որոնք առանձնանում են իզոլոնգերի դաշտի առավելագույն արժեքներով: Մասնավորապես, Արագածի հրաբխային զանգվածի տեղամասում իզոլոնգերի դաշտի առավելագույն արժեքները հասնում են 3,0–3,2 կմ, Գեղամա և Վարդենիսի լեռնազահաններում՝ համապատասխանաբար 2,6 և 2,2 կմ, իսկ Սյունիքի հրաբխային բարձրավանդակում՝ 2,6 կմ բարձրություններում:



Նկ. 2: Հայկական իրաբիսային բարձրավագնուակի երկրակեղակի բյութեղային հիմքի մակերևույթի գրավիտացիոն նորություն:

Հետազոտվող տարածքի սահմաններում երկրագեղիկ բյուրեղային հիմքի և նստվածքային շերտի միջև ձևակառուցվածքային կապերի բացահայտման նպատակով անց են կացվել թվով 6 կառուցվածքա-երկրածևանական կտրվածքներ, որոնց արդյունքները սխեմատիկորեն ներկայացված են նկ. 3-ում:



Նկ. 3: Համայիր կառուցվածքա-երկրածնաբանական կտրվածքներ. 1) բյուրեղային հիմքի մակերևույթ; 2) հզորնագերի դաշտի մակերևույթ; 3) ինտրոզիվ գոյացույթներ; 4) հակադարձ ձևակառուցվածքային կապերով առանձնացող տեղանասեր; 5) ուղիղ ձևակառուցվածքային կապերով արանձնացող տեղանասեր:

Ստորև ներկայացված կտրվածքներից կարելի է եզրակացնել, որ Հայկական հրաբխային բարձրավանդակի տեղամասում երկրակեղեղի նստվածքային շերտի և բյուրեղային հիմքի միջև դիտվում են առավելապես հակադարձ բնույթի ձևակառուցվածքային կապեր: Դա բացատրվում է նրանով, որ համաձայն կիրառված բյուրեղային հիմքի մակերևույթի գրավիտացիոն մոդելի տվյալների, հետազոտվող տարածքի սահմաններում երկրակեղեղի բյուրեղային հիմքը տեղադրված է առավելապես ծովի մակերևույթից ցածր մինչև մի քանի կիլոմետր: Նվազագույն ցուցանիշը դիտվում է Արագածի լեռնազանգվածի տեղամասում՝ մինչև –6 կմ, իսկ Գեղամա և Վարդենիսի լեռնազանգվածի տեղամասում՝ մինչև –6 կմ, իսկ Գեղամա և Վարդենիսի լեռնավահաններում, ինչպես նաև Սյունիքի հրաբխային բարձրավանդակում այդ ցուցանիշը հասնում է –3 կմ:

Բյուրեղային հիմքը երկրաբանական կառուցվածքի տեսանկյունից, աչքի է ընկնում բարդ մոզայիկ կառուցվածքով, առանձնանում են տարբեր կարգի տեկտոնական բլոկներ, որոնք միմյանցից բաժանված են միջրլոկային և ներքրլոկային բեկվածքներով: Տեկտոնական բլոկների հիմնական մասը խորասուցված է ծովի մակարդակից ցածր մինչև մի քանի կիլոմետր: Դրանց զուգահեռ ավելի սահմանափակ ձևով հանդես են գալիս նաև ծովի մակերևույթից վեր բարձրացած բլոկներ [5]: Հիշեցնենք, որ այս հետազոտվող տարածքը համընկնում է ՀՀ տարածքի գրավիտացիոն դաշտի լոկալ բացասական անոմալիաների կենտրոնական մասի հետ, ինչով էլ բացատրվում են բյուրեղային հիմքի տեղադրման խորության ծովի մակերևույթից հաշված բացասական մեծությունները:

Եզրակացություն: Ամփոփելով վերը շարադրված՝ կարելի է եզրակացնել, որ Հայկական հրաբխային բարձրավանդակի սահմաններում երկրակեղեղի նստվածքային շերտի և բյուրեղային հիմքի միջև հաստատված են առավելապես հակադարձ բնույթի ձևակառուցվածքային կապեր, այսինքն՝ նշված մարզի սահմաններում երկրակեղեղի նստվածքային շերտի ձևակառուցվածքի ձևակորման գործում բյուրեղային հիմքի կառուցվածքային անհամասեռությունների դեմք խիստ սահմանափակ է: Առաջնային դերը պատկանում է տեկտոնա-մազմատիկ երևույթներին և, հատկապես նորագույն փուլի էֆուզիվ մագմատիզմին, որի արդյունքում տեղի են ունեցել հրաբխանաստվածքային ապարների հզոր կուտակումներ:

Ստորագրել է՝ 24.03.2015

Գ.ՐԱԿԱՆՈՒԹՅՈՒՆ

1. **Саргсян Р.С., Оганесян А.О.** Выявление связей тектонического происхождения между глубинными и приповерхностными структурами земной коры в северо-восточной складчатой зоне Армении. Материалы Всероссийской молодежной геологической конференции “Геология, геэкология и ресурсный потенциал Урала и сопредельных территорий”. Уфа, 2014, с. 90–98.
2. Геология Армянской ССР. Т.1: Геоморфология. Еր.: Изд-во АН Арм. ССР, 1962, 586 с.
3. **Саргсян Р.С.** О некоторых особенностях решения структурно-геологических вопросов по комплексу геофизико-геоморфологических методов (на примере территории Армении). Материалы XV Уральской молодежной науч. школы по геофизике. Екатеринбург, 2014, с. 210–212.
4. **Սարգսյան Ռ.Ս.** Հայաստանի կյուսիսային ծալքավոր գոտու երկրակեղեղի նստվածքային շերտի ձևակառուցվածքի ուսումնասիրությունը նորփոմնետրիկ տվյալներով: // ԵՊՀ գիտական տեղեկագիր: Երկրաբանություն և աշխարհագրություն, 2015, № 1, էջ. 25–31:

5. **Авдалян А.Г., Оганесян А.О., Фиданян Ф.М., Саргсян Р.С.** Уточнение гравитационной модели поверхности и блокового строения кристаллического фундамента земной коры территории Армении по истинным плотностям промежуточного слоя. Материалы 1-ой Международной науч. конф. молодых ученых “Современные задачи геофизики, инженерной сейсмологии и сейсмостойкого строительства”, посвященной 70-летию основания НАН РА. Ер., 2013, с. 149–154.
6. **Саргсян Р.С., Авдалян А.О.** Построение трехмерной гравитационной модели поверхности кристаллического фундамента земной коры территории Армении с помощью применения ГИС. Материалы III Международной конференции “Геоинформационные системы и дистанционное зондирование”. Ер., 2014, с. 32–36.
7. Геологическая карта Армянской ССР (под ред. С.С. Мкртчяна), 1968.
8. **Джрабашян Р.Т., Гукасян Ю.Г., Карапетян С.Г., Мнацакян А.Х., Навасардян Г.Х., Геворгян Р.П.** Типы вулканических извержений и формы проявления позднеколлизионного наземного вулканизма Армении. // Изв. НАН РА. Науки о Земле, 2012, № 3, с. 3–20.
9. **Каракян А.С., Джрабашян Р.Т., Трифонов В.Г., Филип Э., Аракелян С.Р., Авагян А.В., Багдасарян А.Б., Давтян А.М.** Активные вулканы и вулканическая опасность на территории Армянского нагорья и сопредельных областей. // Изв. НАН РА. Науки о Земле, 2004, № 1, с. 3–24.

Р. С. САРГСЯН

АНАЛИЗ МОРФОСТРУКТУРНЫХ СВЯЗЕЙ МЕЖДУ КРИСТАЛЛИЧЕСКИМ ФУНДАМЕНТОМ И ОСАДОЧНЫМ СЛОЕМ ЗЕМНОЙ КОРЫ АРМЯНСКОГО ВУЛКАНИЧЕСКОГО НАГОРЬЯ

Резюме

В работе сделана попытка выделить морфоструктуру осадочного слоя земной коры Армянского вулканического нагорья и с помощью сравнительного анализа с поверхностью кристаллического фундамента выявить существующие морфоструктурные связи между указанными слоями.

R. S. SARGSYAN

ANALYSIS OF THE MORPHOSTRUCTURAL CONNECTIONS BETWEEN THE EARTH CRUST CRYSTALLINE FUNDAMENT AND SEDIMENTARY LAYER OF ARMENIAN VOLCANIC HIGHLAND

Summary

In the paper an attempt was made to separate the morphostructure of the Earth Crust sedimentary layer and by comparative analysis with the crystalline fundament's surface to explore the existing morphostructural connections between these layers on the territory of Armenian volcanic highland.